

# Laboratorio 2

Controlabilidad, observabilidad, estabilidad y detectabilidad

Integrantes: Sebastián Cobaise  
Arturo Lazcano  
Profesor: Héctor Ramírez  
Auxiliares: Javier Madariaga  
Pablo Araya

Fecha de entrega: 20 de septiembre de 2022

# 1. Ejercicio 1

Del sistema planteado con las matrices

$$A = \begin{pmatrix} 0 & 1 & 0 & 0 \\ 0 & -\frac{\dot{m}(t)}{m(t)} & 0 & 0 \\ 0 & 0 & 0 & 1 \\ 0 & 0 & 0 & -\frac{\dot{m}(t)}{m(t)} \end{pmatrix} \text{ y } G(\vec{X}) = \begin{pmatrix} 0 \\ -\frac{G_1(x_1, x_3)}{m(t)} \\ 0 \\ -\frac{G_2(x_1, x_3)}{m(t)} \end{pmatrix}$$

Se concluye que las coordenadas del vector  $\vec{X} = \begin{pmatrix} x_1 \\ x_2 \\ x_3 \\ x_4 \end{pmatrix}$ , son tal que  $(x_1, x_3)$  es la posición del barco y  $(x_2, x_4)$  su velocidad.

# 2. Ejercicio 2

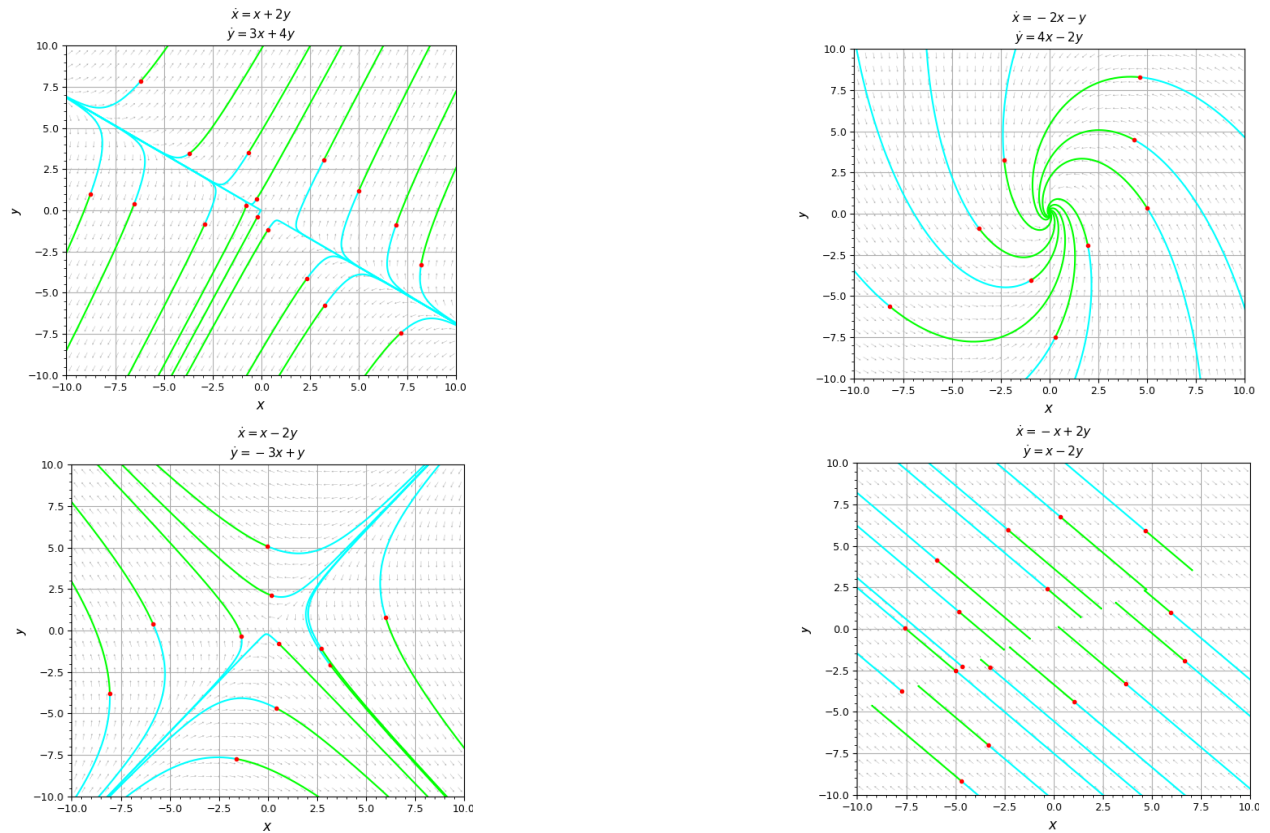


Figura 1: mareas para distintos valores de  $a, b, c$  y  $d$ .

Los puntos rojos son condiciones iniciales y los segmentos verdes son el comportamiento posterior de la EDO asociada.

En la figura (1) se encuentran los diagramas de fase asociados a distintas mareas, cambiando los coeficientes  $a, b, c, d$ . Ahora considerando  $G$  como una corriente lineal, el sistema a resolver resulta de la forma:

$$\dot{\vec{X}} = \begin{pmatrix} 0 & 1 & 0 & 0 \\ \frac{a}{m(t)} & -\frac{\dot{m}(t)}{m(t)} & \frac{b}{m(t)} & 0 \\ 0 & 0 & 0 & 1 \\ \frac{c}{m(t)} & 0 & \frac{d}{m(t)} & -\frac{\dot{m}(t)}{m(t)} \end{pmatrix} \vec{X}$$

Posteriormente, se considera un control relacionado al manejo del barco, que afecta su aceleración, teniéndose el sistema:

$$\dot{\vec{X}} = \begin{pmatrix} 0 & 1 & 0 & 0 \\ \frac{a}{m(t)} & -\frac{\dot{m}(t)}{m(t)} & \frac{b}{m(t)} & 0 \\ 0 & 0 & 0 & 1 \\ \frac{c}{m(t)} & 0 & \frac{d}{m(t)} & -\frac{\dot{m}(t)}{m(t)} \end{pmatrix} \vec{X} + \begin{pmatrix} 0 & 0 \\ 1 & 0 \\ 0 & 0 \\ 0 & 1 \end{pmatrix} \begin{pmatrix} u(t) \\ v(t) \end{pmatrix}$$

### 3. Ejercicio 3

De ahora en adelante, se crean dos matrices  $A$  dependiendo de los valores  $a, b, c, d$ .

$$A_1 = \begin{pmatrix} 0 & 1 & 0 & 0 \\ -1 & 0 & -2 & 0 \\ 0 & 0 & 0 & 1 \\ 4 & 0 & -5 & 0 \end{pmatrix} \quad \text{y} \quad A_2 = \begin{pmatrix} 0 & 1 & 0 & 0 \\ -1 & 0 & 0 & 0 \\ 0 & 0 & 0 & 1 \\ 4 & 0 & -1 & 0 \end{pmatrix}$$

A continuación se muestran las simulaciones de trayectorias del sistema usando condiciones iniciales distintas  $x_{01} = (2, 3, 4, 1)$  y  $x_{02} = (-1, -2, 5, -3)$ . Sumado a lo anterior, se prueban cuatro tipos de controles distintos:

- $U_1(t) = (0.2 \quad 0.2)$
- $U_2(t) = (\sin(t) \quad \sin(t))$
- $U_3(t) = CX = \begin{pmatrix} 1 & 1 & 1 & 1 \\ 1 & 0 & -1 & 0 \end{pmatrix} X$
- $U_4(t) = \begin{cases} (0 & 0) & t < 5 \\ (1 & 1) & t \geq 5 \end{cases}$

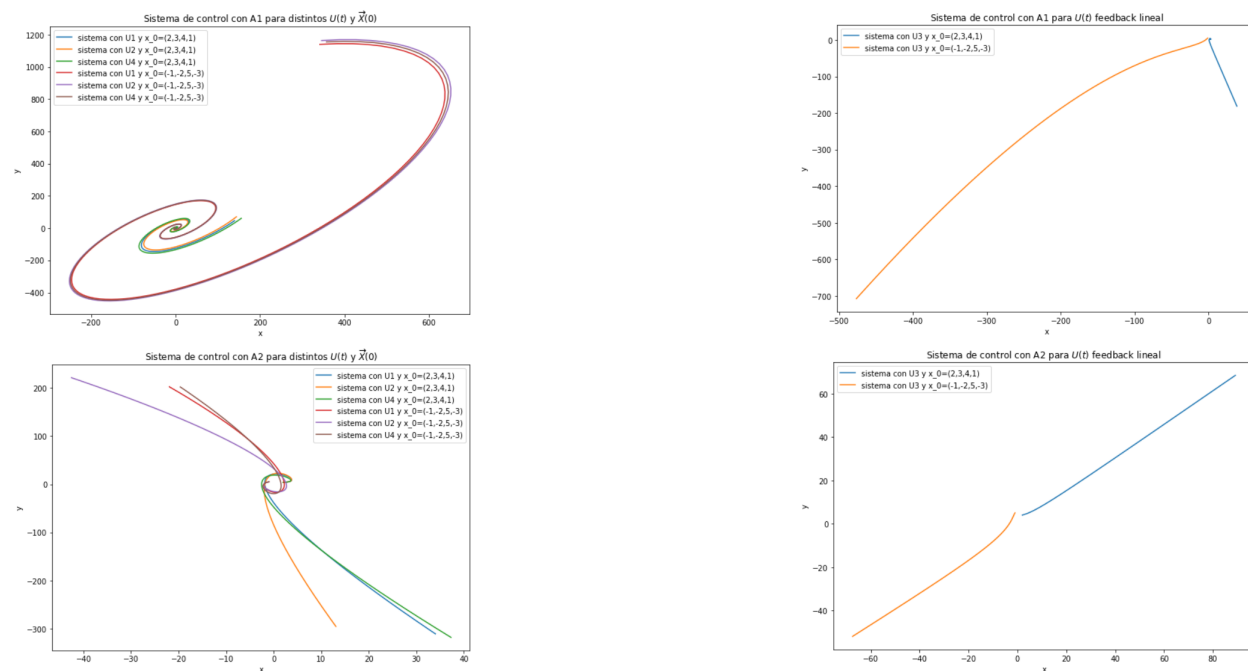


Figura 2: Simulación de trayectorias para distintos controles y condiciones iniciales.

A modo de tener una mejor observación para el caso de la matriz  $A_2$  y controles constantes, sinusoidales y Bang-Bang, se usa un tiempo mayor y se grafica a continuación:

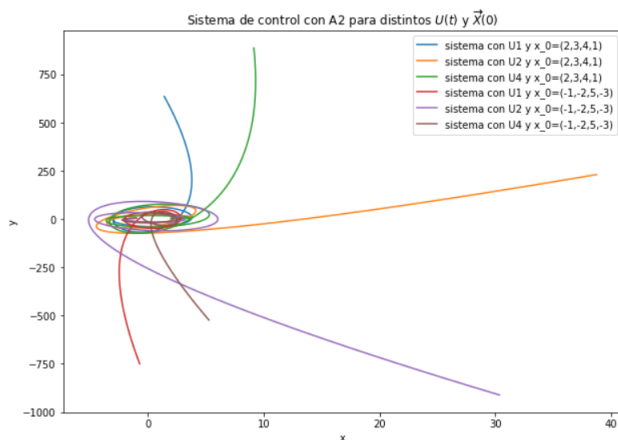


Figura 3: Trayectoria con  $A_2$  y mayor tiempo.

Como se puede apreciar en las figuras anteriores, dependiendo de la matriz  $A$ , es decir, sus valores  $a, b, c, d$  el comportamiento de las trayectorias puede cambiar. Por ejemplo, en el caso de  $A_1$ , independiente del control y dada una condición inicial fija, todas las trayectorias tienden a parecerse, mientras que en el caso de  $A_2$  este no es el caso. Notar que para controles tipo feedback lineal, lo dicho anteriormente no se cumple, es decir, depende también de la matriz  $C$  definida. Por último, como se puede notar, mientras más tiempo pasa en el caso de  $A_2$ , las trayectorias tienden aún más a no parecerse.

## 4. Ejercicio 4

Sea  $C_1$  matriz de controlabilidad de  $A_1$  y  $C_2$  la de  $A_2$ , las cuales se calculan en python y con el toolbox Control:

$$C_1 = \begin{pmatrix} 0 & 0 & 1 & 0 & 0 & 0 & -1 & -2 \\ 1 & 0 & 0 & 0 & -1 & -2 & 0 & 0 \\ 0 & 0 & 0 & 1 & 0 & 0 & 4 & -5 \\ 0 & 1 & 0 & 0 & 4 & -5 & 0 & 0 \end{pmatrix}, C_2 = \begin{pmatrix} 0 & 0 & 1 & 0 & 0 & 0 & -1 & 0 \\ 1 & 0 & 0 & 0 & -1 & 0 & 0 & 0 \\ 0 & 0 & 0 & 1 & 0 & 0 & 4 & -1 \\ 0 & 1 & 0 & 0 & 4 & -1 & 0 & 0 \end{pmatrix}$$

Por lo que se concluye que ambos sistemas son controlables, las primeras 4 columnas de cada matriz son una base canónica de  $\mathbb{R}^4$ , así que son de rango completo.

## 5. Ejercicio 5

Ahora se calculan  $\mathcal{O}_1$  y  $\mathcal{O}_2$ , matrices de observabilidad de los sistemas asociados a  $A_1$  y  $A_2$  respectivamente:

$$\mathcal{O}_1 = \begin{pmatrix} 1 & 0 & 0 & 0 \\ 0 & 0 & 1 & 0 \\ 0 & 1 & 0 & 0 \\ 0 & 0 & 0 & 1 \\ -1 & 0 & -2 & 0 \\ 4 & 0 & -5 & 0 \\ 0 & -1 & 0 & -2 \\ 0 & 4 & 0 & -5 \end{pmatrix}, \mathcal{O}_2 = \begin{pmatrix} 1 & 0 & 0 & 0 \\ 0 & 0 & 1 & 0 \\ 0 & 1 & 0 & 0 \\ 0 & 0 & 0 & 1 \\ -1 & 0 & 0 & 0 \\ 4 & 0 & -1 & 0 \\ 0 & -1 & 0 & 0 \\ 0 & 4 & 0 & -1 \end{pmatrix}$$

Teniéndose ambos sistemas observables, pues las primeras 4 filas de cada matriz son base canónica de  $\mathbb{R}^4$ .

## 6. Ejercicio 6

Al calcular el Grammiano de ambos sistemas con el comando **gram**, no se obtiene resultado y se informa que ambos sistemas son inestables, esto significa que las matrices  $A_1$  y  $A_2$  tienen valores propios con parte real positiva, lo que significa que hay una dirección (vector propio asociado) donde las soluciones tienen a diverger.

## 7. Ejercicio 7

Para cada matriz  $A_i$  ( $i \in \{1, 2\}$ ), se genera la matriz  $K_i$  con el comando **place** tal que  $A_i - BK_i$  tenga todos sus valores propios con parte real negativa (dados). Luego se utiliza el comando **lqr** para obtener un  $K_i$  que haga a  $A_i - BK_i$  estable (se observa que todos sus valores propios tienen parte real negativa). Luego se simula el sistema asociado a  $A_1 - BK_1$  (con  $K_1$  encontrado con **place**) y se observa en la figura (4) que efectivamente tiende a cero (La velocidad también se tiene a cero, o si no la posición no se podría mover asintóticamente a 0):

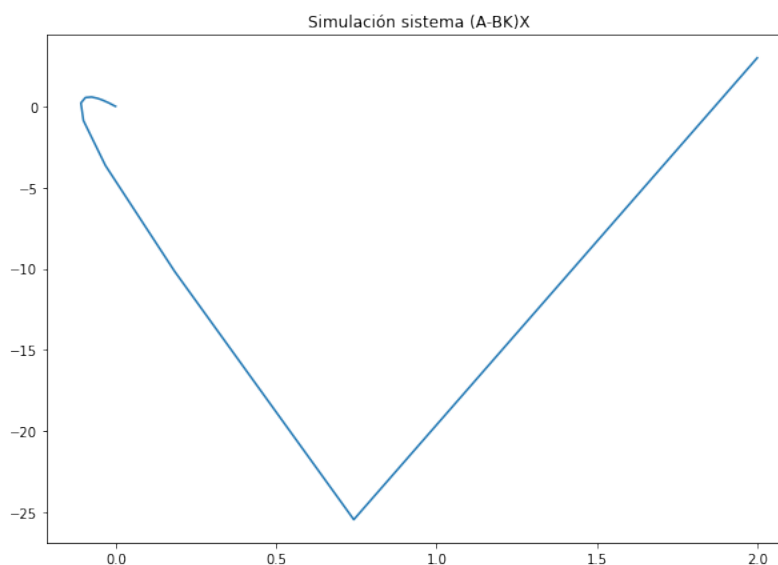


Figura 4: Trayectoria del sistema  $A_1 - BK_1$ . Aquí  $(x, y)$  es la posición del barco, el cambio abrupto de dirección se debe a que un valor propio es mucho más grande en módulo que los otros

## 8. Ejercicio 8

Ahora se considera un sistema donde se puede observar solamente la posición del barco, con esta información, consideramos la posición del barco como  $(x_1, x_3)$  y la ecuación:

$$\vec{Y} = \begin{pmatrix} x_1 \\ x_3 \end{pmatrix} = \begin{pmatrix} 1 & 0 & 0 & 0 \\ 0 & 0 & 1 & 0 \end{pmatrix} \begin{pmatrix} x_1 \\ x_2 \\ x_3 \\ x_4 \end{pmatrix} = C\vec{X}$$

Luego, para las simulaciones de esta sección, se usa la matriz  $A_1$  junto con una matriz  $L_1$  que se calcula de forma similar a  $K_1$  del ejercicio 7.

El sistema considerado cambia pues, ahora, se requiere una variable que acople a  $\vec{X}$  junto con su estimación  $\hat{\vec{X}}$  por lo que se requiere definir una nueva matriz  $\hat{A}$  por bloques usando las ecuaciones de  $\vec{X}$  y  $\hat{\vec{X}}$ , es decir, las matrices  $A$ ,  $K_1$ ,  $B$ ,  $C$ , y  $L_1$ .

Para la simulación, se usa la condición inicial  $x_0 = (2, 3, 4, 1, -1, -4, 2, 9)$ . En las siguientes figuras se grafican  $\vec{X}$  junto con su estimación  $\hat{\vec{X}}$  para distintos controles.

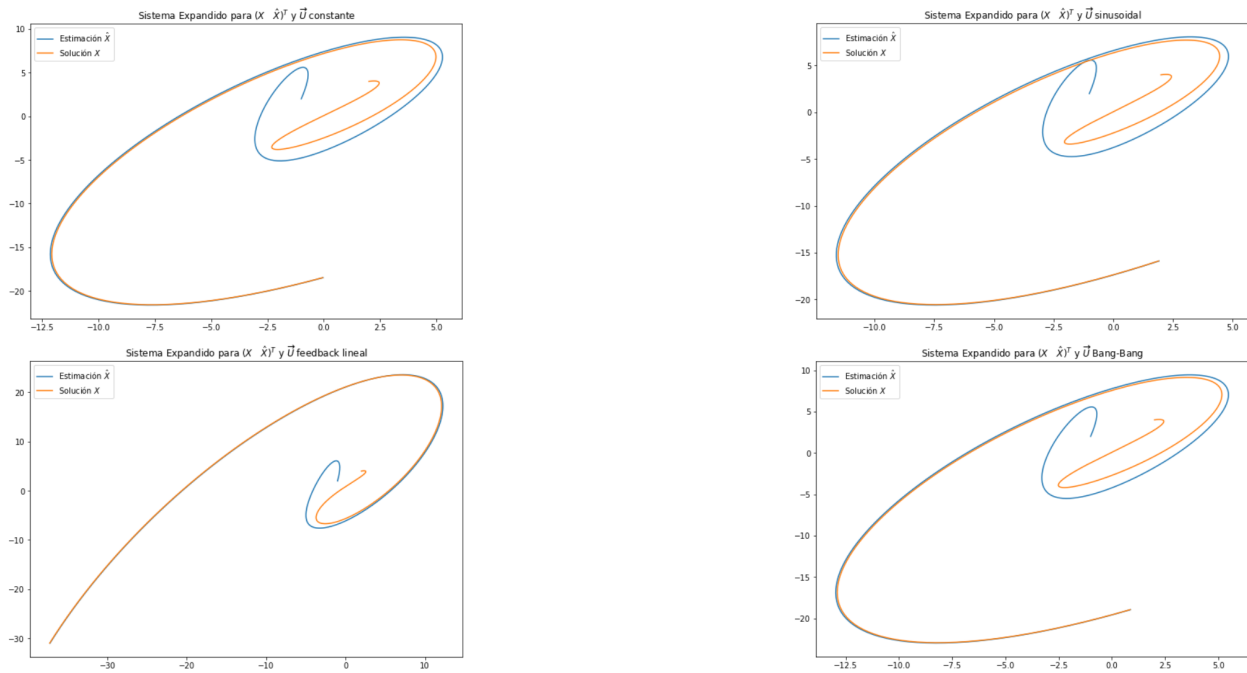


Figura 5: Simulación de trayectorias para distintos controles y condiciones iniciales.

Con esto, se puede observar como a mayor tiempo, la trayectoria  $\vec{X}$  y su estimación se parecen más independiente del control usado.

Por otro lado, se quiere usar un control tipo feedback lineal pero esta vez con una matriz específica, es decir,  $U(t) = -K_1 X$  donde  $K_1$  es la encontrada en el ejercicio 7. Este resultado se comparará con un control  $U(t) = DX$  con  $D$  matriz cualquiera (en este caso la usada en el ejercicio 3).



Figura 6: Simulación de trayectorias para distintos controles y condiciones iniciales.

En la Figura 6 se puede notar como para el control que involucra a la matriz  $K_1$ , las trayectorias se van a cero, mientras que para una matriz  $D$  cualquiera este puede no ser el caso. Obteniendo así una mala estimación de la trayectoria  $\vec{X}$ .



## 9. Ejercicio 9

En este último ejercicio, se usa un control  $U(t) = -KX$  con  $K$  encontrado previamente en el ejercicio 7 y se considera un estimador  $\hat{X}$  con  $L$  encontrado en el ejercicio 8. A partir de los sistemas para  $\hat{X}$  y el error  $\vec{e}$ , se obtiene el sistema definido por bloques:

$$\begin{pmatrix} \dot{\hat{X}} \\ \dot{\hat{e}} \end{pmatrix}' = \begin{pmatrix} A - BK & LC \\ 0 & A - LC \end{pmatrix} \begin{pmatrix} \hat{X} \\ \hat{e} \end{pmatrix}$$

Dado que tenemos  $K$  y  $L$  tales que  $A - BK$  y  $A - LC$  son sistemas estables, la matriz del sistema acoplado también lo será, dado que es una matriz triangular superior cuando se observa su definición por bloques, por lo que sus valores propios son los valores propios de las matrices que se encuentran en la diagonal, las figuras (7) y (8) son los resultados de la simulación para el sistema  $A_1$ .

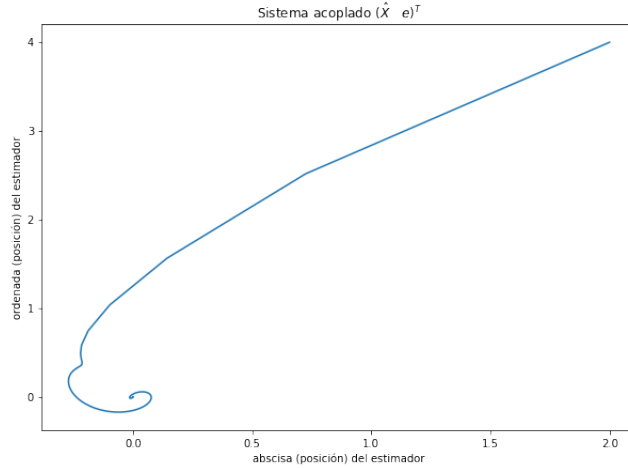


Figura 7: Simulación del sistema acoplado  $\begin{pmatrix} \dot{\hat{X}} \\ \dot{e} \end{pmatrix}'$ , se observa que la posición del estimador tiende a 0, esto por el  $K$  elegido.

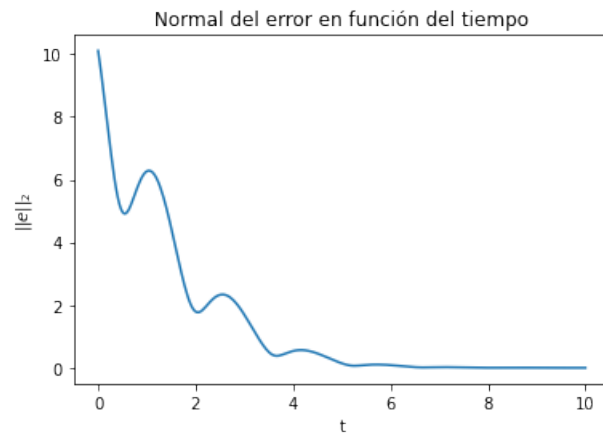


Figura 8: Se observa que el error tiende a 0, debido a la elección de  $L$ .